

## Werk

**Label:** Other

**Jahr:** 1933

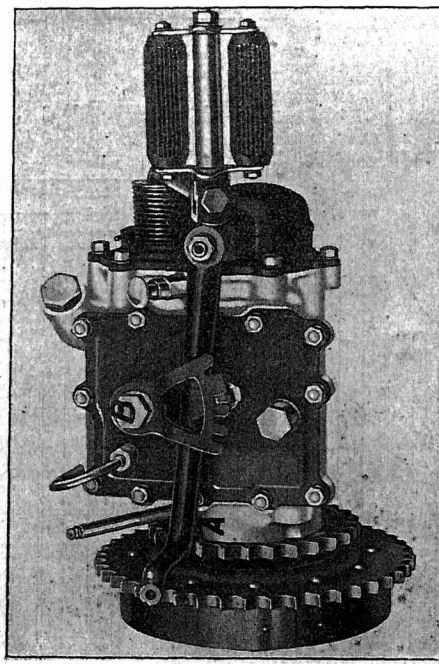
**PURL:** [https://resolver.sub.uni-goettingen.de/purl?31311028X\\_0062|log105](https://resolver.sub.uni-goettingen.de/purl?31311028X_0062|log105)

## Kontakt/Contact

Digizeitschriften e.V.  
SUB Göttingen  
Platz der Göttinger Sieben 1  
37073 Göttingen

✉ [info@digizeitschriften.de](mailto:info@digizeitschriften.de)

jen při odstaveném motoru, a proto každý motocykl s pětivodovou skříní musí mít vysouvací spojky. Spojky jsou buď suché nebo olejové, mají obyčejně věšti počet tříčich lamer, zhotovených ze speciální fríkenci látky (fenodo nebo raybestos). Jsou tak zařízeny, že snesou i po delší dobu klonzání, aniž by se jejich teploplá nebezpečně zvýšila. Dřívě používaný tříčet materiál — korek — je náchyně k spálení, spojky korkové měly však měkký záber.

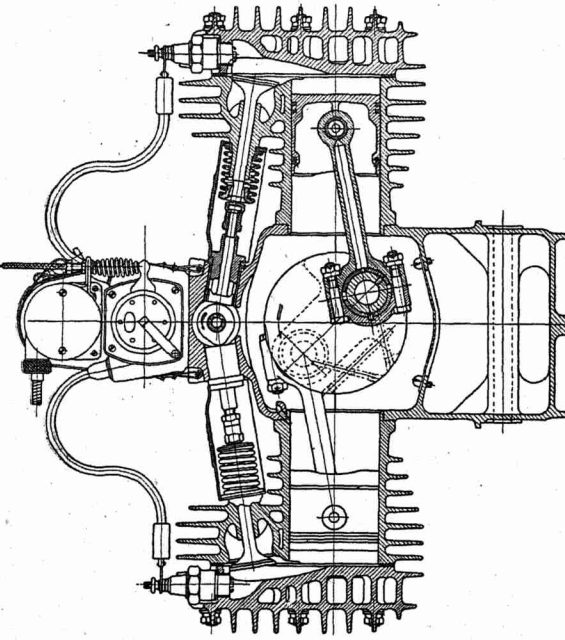


Obr. 13. Spojka a převodová skříň amerického motocyklu „Harley-Davidson“  $B =$  hřídel zasouvaní rychlostí,  $A =$  páka spojky. Rychlosti lze zasunovat jen při vysunuté spojce, neboť páka  $A$  musí být stlačena dolů, aby se ozubený segment na hřidle  $B$  uvolnil.

Pohyb od motoru k převodové skříni děje se t. zv. primárním převodem. Od převodové skříně k zadnímu kolu jest usporádán sekundární převod. Oba převody mohou být konstruktivně rozmanitě vytvořeny. Je-li převodová skříň oddělena od motoru, je primární převod nejčastěji pěsným válečkovým řetězem, pohybujícím se

— 16 —

mory. Popis takového motoru viz na př. v časopisu „Vynález a pokroky“, ročník 1924, str. 161. (Velocette.) Čtyřtaktní motory jsou výhradně ventilové. Před několika lety vyskytla se dosti podárená konstrukce šoupátkového motoru; stroje s tímto motorem byly prodávány po několik let, ale neudržely se. Popis takového motoru anglické konstrukce byl podán v časopisu „Vynález a po-



Obr. 8. Motor typu „flat-twin“ se dvěma válci proti sobě a klikami na  $180^\circ$  (B. M. W.).

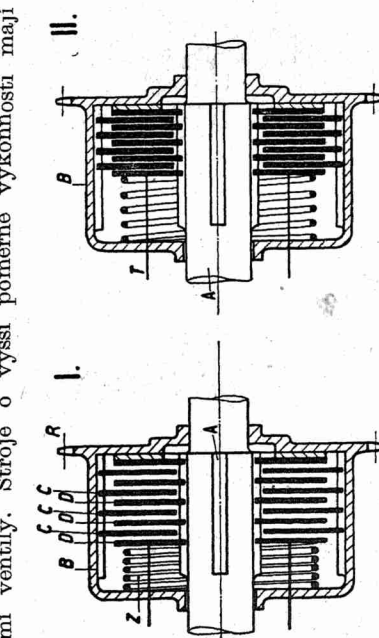
kroky“ v roč. 1925, na str. 214 (motor Barr a Stroud). Až dosud se používá hlavně dvojité uspořádání ventilů. Ve výrobě motocyklů dominují dnes hlavně Angličané, a proto některá označení, přejata z angličtiny, vzala se i u jiných národů a běžně se jich používá. To platí hlavně pro

— 9 —

označení druhů rozvodů; tak znází „sídlo“ rozvod s postranními ventily. „O. H. V.“ (overhead valve) ventily jsí kmo ve válce hlavě visuté uložené, řízené vahadly a tyčkami, označení „O. H. C.“ znází rozvod s vačkovým hřdelem nad ventilovou hlavou (overhead camshaft). Normální rozměry čtyřtaktních motorů jsou: 175, 250, 350, 500, 750 a 1000 cm<sup>3</sup>. Jak vidět, je v rozmezích motorů značná rozmanitost. Cestovní stroje opatrují se motory s postranními ventily. Stroje o vyšší poměrné výkonnosti mají

vodní chlazení se u motocyklu neužalo, ale přece se ho v jediných případech používá. Před několika lety s úspěchem zaveden ohlázení olejem zaniklo (motor Bradshawův).

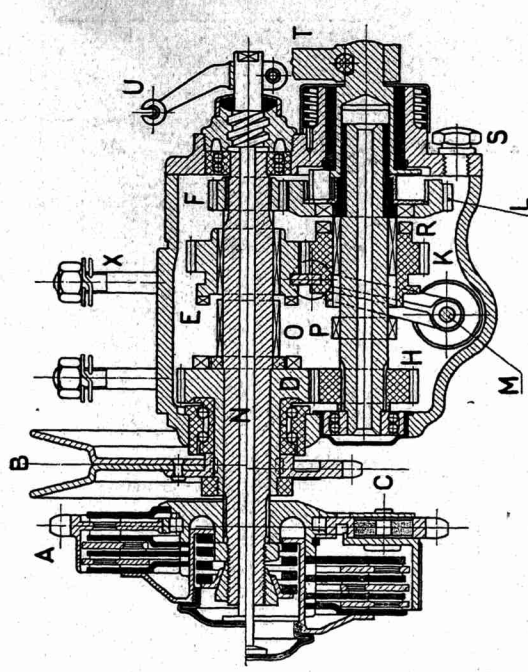
Výkonnost každého motoru závisí na jeho točivé rychlosti, a proto musí mít každý vozidlo takovým motorem hnane pro menší proměnlivý převod na zadní osu. K tomu slouží převodová skříň, kterou mají všechny



Obr. 9. Schema lamelové spojky.  $R$  = řetězové hnací kolo spojky,  $A$  = dražkovany hřidel,  $B$  = objímka spojky,  $D$  = vnitřní lamely,  $C$  = vnější lamely,  $Z$  = zpružina spojky. Ventily shora řízené. Tento rozvod ujímá se však v poslední době i u strojů cestovních a je stále zdokonalován.

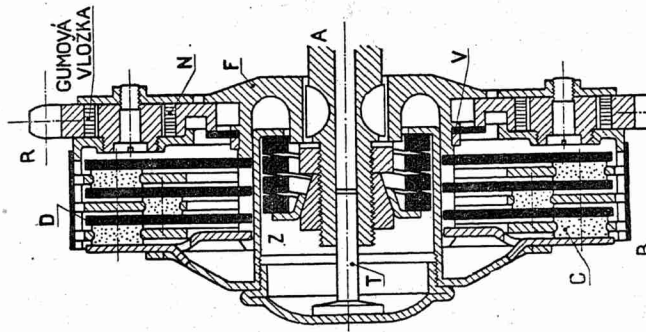
Pri počítání výkonnosti rozložujeme ji podle požadavků praxe na výkonnost jmenovitou a nejvyšší dosažitelnou (maximální). Pro výpočet jmenovité výkonnosti běže se na 100 cm<sup>3</sup> obsahu válice 1 k. s., takže největší přecházející motor 500 cm<sup>3</sup> má podle toho 5 k. s. Výkonnost maximální je však mnohem vyšší. U postranních ventiliční při obsahu válice 500 cm<sup>3</sup> asi 12—14 k. s., při ventilech shora řízených a vyšší komprezi 22 k. s. U motorů pro zá-

\* k. s. zkratka pro koňskou silu.



Obr. 12. Řez převodovou skříní a spojkou motocyklu anglické konstrukce (3 rychlosti).  $A$  = spojka,  $B$  = hnací kotouče sekundárního převodu,  $M$  = zasuvací hřidel,  $U$  = páka k vypínání spojky,  $T$  = rámene kříky spojařečce. dnešní motocykly; mají aspoň dva rychlostní stupně, ve většině případů však tři, často i čtyři rychlosti. Skříně mají ozubená korigovaná kola, která lze posunovat na drážkovém hřidle; přesouvání rychlostí děje se pákou, uloženou na pravé nebo levé straně nádržky. Přeměna rychlosti je možná

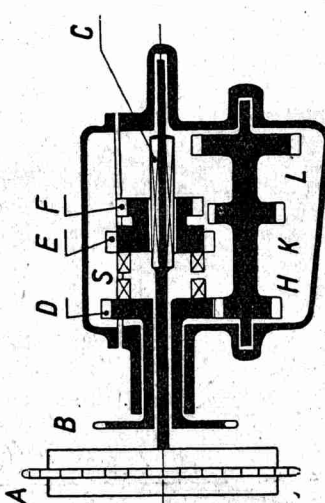
vysší výběc dosažené točivé rychlosti ze všech známých pistových strojů; bylo naměřeno 7000-8000 obr./min. i více, v určitem případě skoro 10000 obr./min., aniž by nastaly poruchy v mechanismu. Tyto rychlosti byly umožněny do konálnym mazáním a výhradním použitím valčkových a kuličkových ložisek. Ložisko kuličkového čepu má výhradně uložení na valčekách, všechny hmoty přímočárné (vratiče) kytající musí být co nelehčí, aby nevznikaly velké setrvačné síly, které by vytváraly vibrace a namáhaly ložiska. Při 4000 otáčkách v minutě dosahují setrvačné síly takové velikosti, že se rovněž tlakem na pist při výbuchu. Velké požadavky jsou kladený na ventily, které musí vydržet při teplotě 400 až 950°C ohromný počet nárazů na sedlo.



Obr. 11. Schéma přistupníové převodové skříně se spojkou.  $A =$  spojka,  $B =$  rotorezový kotouč sekundárního převodu,  $C =$  zkušbová spojka,  $D =$  kolo I. rychlosti,  $E =$  kolo II. rychlosti,  $F =$  ozubená kola, předlohy.

Dnes se používá skoro výhradně pístů z lehkých slitin hliníkových, magnaliových a elektronových, tedy slitin o velké vodivosti tepelné, které usnadňují chlazení a změnou setrvačné síly.

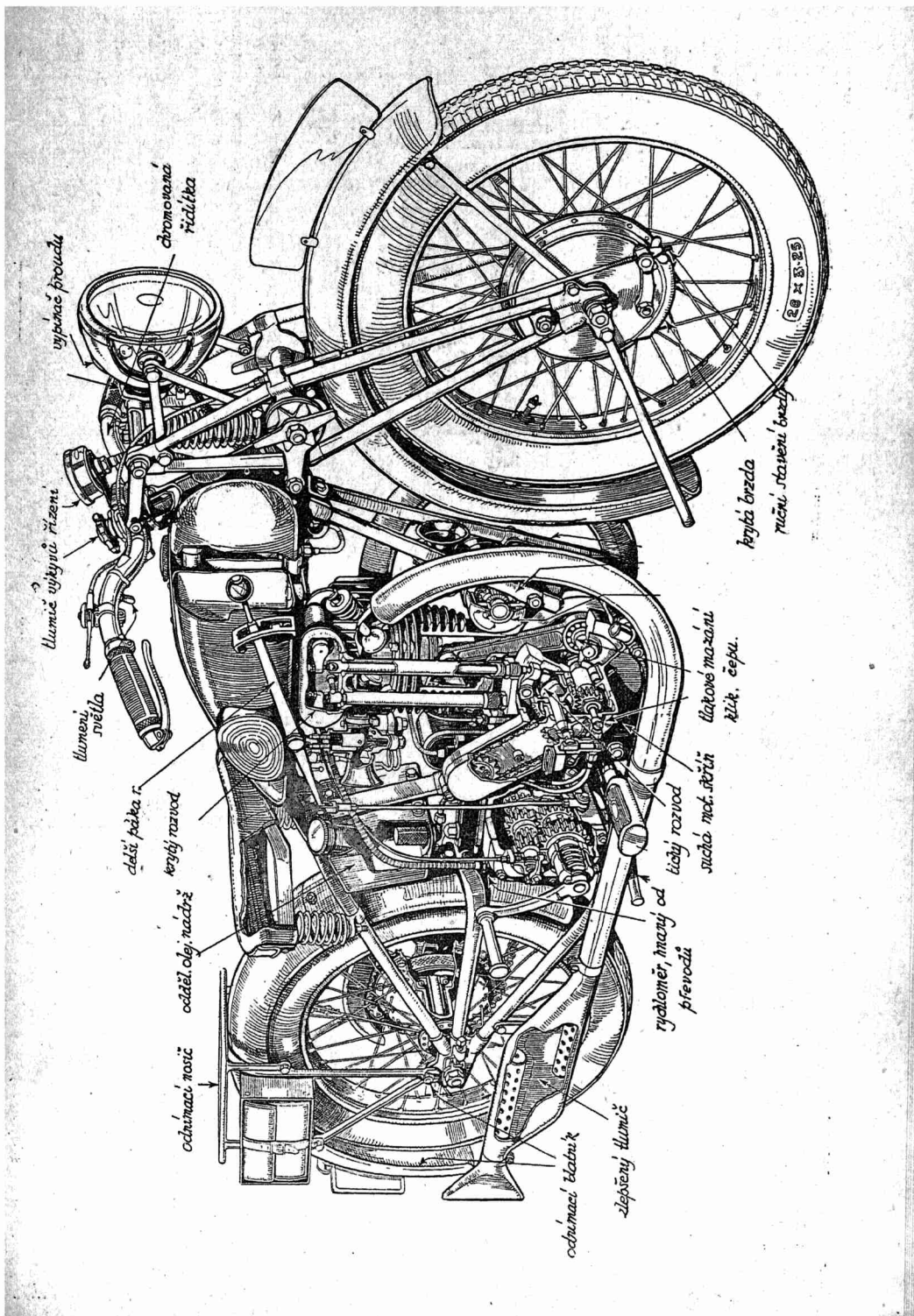
Je zajímavé, jak se dobré osvědčilo vzdutní chlazení. Při náležitém vývinu chladicích žebér dosahuje se dnes bez vadného chlazení i za okolností nejsvizelnějších. — Proto



Obr. 10. Suchá spojka.  $A =$  hřidel převodové skříně,  $B =$  kryt lama,  $C =$  třecí vložky (ferodo, korek), zasazené do vnějších lamen,  $D =$  vnitřní (ocelové) lameny,  $F =$  nařízený spojky,  $R =$  rotorezové hnací kolo spojky,  $N =$  gum. vložka, tlumiči nárazu,  $Z =$  zpružina spojky,  $T =$  tlečátko na vypínaní spojky.

vodní stroje s velkou kompresej a velkým počtem obrátek bylo dosaženo při použití libovolných paliv ještě vyšších výkonností, až 35 k. s. ne 500 cm<sup>3</sup> obsahu, takže zadní motor 1000 cm<sup>3</sup> dosahuje výkonnosti až 70 k. s., a to bez kompresoru.

Konstruktivní a dílnské zdokonalení je přičinou, že moderní motocykly jsou schopny značně vysokých rychlostí, a to i při své poměrně velké váze. Průměrná vaha motocyklu s motorem 500 cm<sup>3</sup> ve službě ještě asi 170–180 kg. I cestovní stroje dosahují snadno rychlosti 100 km/hod. při udané velikosti. Při srovnání s automobilem jsou tedy značně rychlé a mají mnohem větší rychlosť na stoupání. Využívají tedy jejich ovládání nálezitou pozornost. Spotřeba paliva činí průměrně 2,5 až 5 l na 100 km trati a je větší v rovině, než při větších rychlostech než při jízdě do kopřitého terénu a mimoříši rychlosti. Nejvhodnější spotřebu dostaneme při určité rychlosti; motory konají při tom průměrně 2000 až 3000 obrátek v minutě, u závodních strojů mnohem více. Motory závodních strojů dávají největší výkonnost při 4500 až 5500 obrátkách v minutě, například dosahují nej-



$$G = \frac{m}{g} r \omega^2. \quad (2'')$$

Podle rovnice (1') je dále

$$\omega = \frac{\pi \cdot 3000}{30} = 314 \text{ 1/sec}$$

a konečně

$$G_{kg} = \frac{0,001 \text{ kg}}{9,81 \text{ m/sec}^2} \cdot 0,5 \text{ m} \cdot 314^2 \text{ 1/sec}^2 = 5,04 \text{ kg.} \quad (3)$$

Specifické tlaky (resp. tah) vyjadřují se v  $\text{kg/cm}^2$  (v technických atmosférách) nebo v  $\text{kg/m}^2$ . (Manometr ukazuje přetlak. Uzkuje-li na př. 14 atm., je to 14 atm. *přetlaku*, čili 15 atm. *absolutních*.)

Místo hustoty páry užívá se reciproké hodnoty, t. zv. měrného objemu, a to v  $\text{kg/m}^3$ . Je to objem 1 kg páry vyjádřený v metrech krychlových.

Mechanická práce udává se v  $\text{m kg}$ , výkon, t. j. práce za vteřinu v  $\text{mkg/sec}$  nebo v „koňských silách“, t. j.  $75 \text{ m kg/sec}$ . Poněvadž pak parní turbíny nejčastěji pohánějí elektr. generátory, vyjadřuje se jejich výkon také v elektrotechnických jednotkách, t. j. v kilowatech (kW). Tu platí známé vztahy

$$1 \text{ ks} = 0,736 \text{ kW} \quad (4)$$

a opačně

$$1 \text{ kW} = 1,36 \text{ ks.} \quad (4')$$

Pro množství tepla užívá se velké kalorie, teploty vyjadřují se ve  $^{\circ}\text{C}$  a často jakožto absolutní, t. j.  $(273 + t)^{\circ}\text{C} = T$ .

Důležitý je pojem účinnosti či efektu. Dá-li teoreticky hnací stroj výkon  $N_0$ , dá skutečně stroj následkem různých ztrát a nedokonalostí pouze  $\eta \cdot N_0$ , kde  $\eta$  nazývá se účinností a udává se v %.

Dodává-li generátor  $N$  kW po dobu  $t$  hod. mluvíme o dodání  $N \cdot t$  kWh (kilowatových hodin) energie.

Výpočty technické provádíme (pokud ovšem ze zcela speciálních důvodů se nežádá větší přesnost) logaritmickým pravítkem. Jsem toho mínění, že jeho užívání mělo by se zavést na středních školách současně při probírání logaritmů.

*I — S diagram.* Mysleme si nyní 1 kg vody  $0^{\circ}\text{C}$  obsažený ve válcu uzavřeném pístem, na nějž působí stálý tlak  $p_1 \text{ kg/cm}^2$ . Zahříváním přivádíme tomuto 1 kg vody teplo. Přivedli-li jsme  $q_1$  kalorií a dosáhli teploty  $t_1$ , pravíme, že tepelný obsah 1 kg vody při tlaku  $p_1 \text{ kg/cm}^2$  a teplotě  $t_1$  je  $i_1 = q_1 \text{ kal/kg}$ . Dosáhne-li teplota výše, která odpovídá bodu varu při tlaku  $p_1$ , přivedli jsme celkem  $q$  kalorií, které nazýváme kapalinným teplem.

Při dalším zahřívání teplota nestoupá, ale voda mění se v páru. V určitém stavu je proměněno  $x$  kg v páru a  $(1 - x)$  kg je dosud ve formě vody.  $x$  je pravý zlomek a vyjadřuje se v %. V tomto stadiu mluvíme o vlhké či mokré páře o sytosti  $x\%$ . Přivedeme-li dalších  $r_1$  kalorií a dosáhneme teploty  $t_2$ , je tepelný obsah  $r_1 + q = i_2$ . Je-li měrný objem páry  $v_1$ , vody  $v_2$ , je celkový objem  $v = xv_1 + (1 - x)v_2 = x(v_1 - v_2) + v_2$ . Odpaří-li se veškerá voda, bude  $x = 1 (= 100\%)$ . Při tom přivedli jsme celkem  $\lambda = q + r$  kalorií, kde  $r$  nazývá se výparným teplem. Pravíme, že vyrobili jsme suchou páru sytou o tepelném obsahu  $i_3 = \lambda$ .

Pokračujeme-li dále v přivádění tepla, vyrobíme páru přehřátou. Teplota stoupá, objem se zvětšuje a přivedli-li jsme dalších  $\mu$  kalorií, je celkový obsah tepelný  $i_3 = q + r + \mu$ .

Celý proces provedli jsme při tlaku  $p_1$  kg/cm<sup>2</sup>. Stejný proces myslíme si provedený při tlaku  $p_2$ ,  $p_3$  atd. Tak získáme řady hodnot pro  $p$ ,  $t$ ,  $v$ ,  $i$ ,  $x$ . V určitém stadiu nechť známe tyto hodnoty. Pak přivedeme další tak malé množství tepla  $q$ , že teplota se nemění a utvoříme výraz  $q/T$ . Součet všech takových výrazů od 0°C do uvažovaného stavu, tedy  $\sum q/T = S$ , nazývá se entropií. Každý stav páry je tedy charakterisován veličinami  $p$ ,  $v$ ,  $t$ ,  $x$ ,  $i$ ,  $S$ .

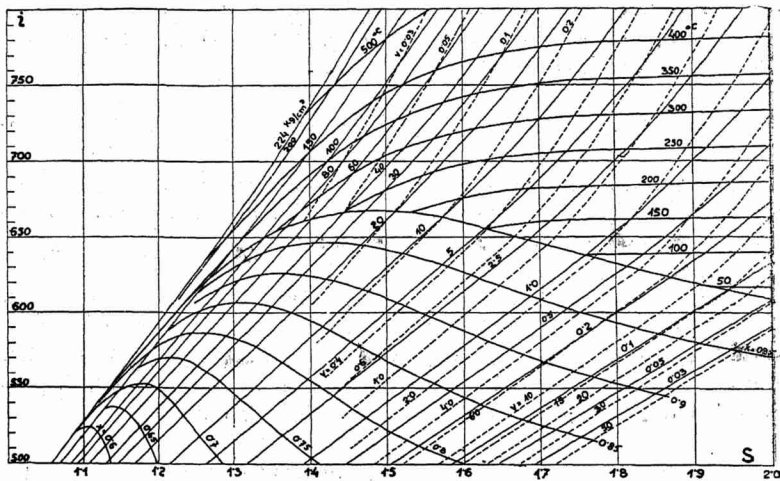
Lze sestrojiti diagram nesmírné důležitosti, v němž všechny podivuhodné vlastnosti vodní páry jsou zobrazeny s neobyčejnou jasností. Od zvoleného počátku pravoúhlých souřadnic nanáší se  $S$  jako úsečky a  $i$  jako pořadnice. Z veličin  $p$ ,  $v$ ,  $t$ ,  $x$ ,  $i$ ,  $S$  jsou dvě libovolné, ostatní jsou pak již dvěma stanoveny. Zvolme si určitý tlak  $p = p_1$ . Pak pro různá  $S$  dostaneme z našich pokusů výše popsaných příslušná  $i$ . V diagramu vyznačme body o těchto souřadnicích ( $S$ ,  $i$ ) a spojme je čarou, kterou nazveme  $p_1$ . Pro jiný tlak  $p = p_2$  dostaneme podobně čáru  $p_2$  atd. Tak jako volili jsme tlaky, tak můžeme voliti objemy  $v_1, v_2, \dots$ , teploty  $t_1, t_2, \dots$ ,  $x_1, x_2, \dots$  a spojením bodů o souřadnicích ( $S$ ,  $i$ ) dostáváme čáry stálých objemů, teplot, sytosti. Tento diagram se nazývá Molierův entropický diagram IS.

Takový diagram přiložen je ke Stodolově dříve jmenované knize; ve zmenšeném měřítku je v „Technickém průvodci“ v druhém sešitu (Teplo; nejnovější lze objednat u Springer v Berlíně). Na obr. 1 je část diagramu schematicky naznačena podle Stodolovy knihy.

Zajímavý je bod odpovídající tlaku 225 atm a teplotě 374°C. Je to bod kritický, v němž voda přechází hned do stavu páry přehřáté.

Vycházeli jsme od teploty 0°C a kladli při ní tepelný obsah  $i$  entropii rovnou nule. To však neznamená, že skutečně obě veličiny při 0°C mizí. V těchto úvahách nezáleží na absolutní hodnotě  $i$ ,  $S$ , nýbrž pouze na rozdílech těchto veličin ve dvou stavech.

Užití  $I-S$  diagramu. V kotelně nechť vyrobí se pára přehráta o tlaku  $p_0$  a teplotě  $t_0$ . Z diagramu shledáme, že čáry  $p_0$  a  $t_0$  protínají se v bodě, jemuž přísluší  $i = i_0$ . Kdybychom adiabaticky nechali unikat páru do prostoru, v němž je udržován menší tlak  $p_2$ , pak entropie zůstává nezměněna. V diagramu tedy tento pochod je znázorněn svislou úsečkou vedenou z bodu  $p_0 t_0$  k čáře  $p_2$ . Tato úsečka měří  $i_0 - i_2$  kalorií, což můžeme odečísti nebo odměřiti vhodným měřítkem. Tomuto rozdílu tepelných obsahů říkáme tepelný spád.



Obr. 1.

Snadno můžeme udati rychlosť  $c_0$ , které nabude vytékající pára. Teplota  $h = i_0 - i_2$  každého proteklého kg přemění se v kinetickou energii. Je-li  $A = 427 \text{ m kg}$  mechanický equivalent tepla, je v technických jednotkách tato přeměna dána rovnicí

$$\frac{c_0^2}{2g} = Ah \quad (5)$$

a tedy

$$c_0 = \sqrt{2gAh} = \sqrt{2 \cdot 9,81 \cdot 427 \cdot h} = 91,5 \sqrt{h} \text{ m/sec.} \quad (6)$$

Protéká-li tedy 1 kg/sec uvolní se energie  $Ah$  m/kg/sec. Kolik kg páry za hodinu musí protékati, aby se získala 1 ks. při spádu 1 kal./kg? Podle (5) bude

$$\frac{G \cdot A \cdot 1}{3600} = 75 \text{ m kg/sec.}$$

a tedy

$$G = 632 \text{ kg/h ks.} \quad (7)$$

Chceme-li docílit 1 kW, musíme (7) přepočísti podle (4'), takže

$$G = 860 \text{ kg/h kW.} \quad (7')$$

Nyní můžeme řešit základní úlohu: Je dán počáteční stav páry před turbinou  $p_1 t_1$  (obojí o něco menší než  $p_0 t_0$  v kotlích následkem ztrát v přívodním potrubí) a konečný tlak páry  $p_2$  opouštějící turbinu. Jaká bude spotřeba páry pro 1 kWh?

V diagramu odměříme příslušný spád  $H$ : Poněvadž pak podle (7') každých 860 kg páry za hodinu výrobí 1 kW při spádu 1 kal., bude spotřeba  $C$  při spádu  $H$

$$C = \frac{860}{H} \text{ kg/kWh.} \quad (8)$$

To ovšem odpovídá turbině ideální beze všech ztrát tepelných i mechanických, s adiabatickou expansí. Turbina skutečná má však účinnost  $\eta_t$ , takže skutečná spotřeba bude

$$C_{sp} = \frac{860}{\eta_t \cdot H} \text{ kg/kWh.} \quad (8')$$

Tomu říkáme spotřeba na spojce. Nechť turbina pohání generátor o účinnosti  $\eta_{el}$ . Chceme-li znáti spotřebu páry „na svorkách generátoru“, musíme spotřebu na spojce zvětšiti, takže

$$C_{el} = \frac{860}{\eta_t \eta_{el} H} \text{ kg/kWh.} \quad (8'')$$

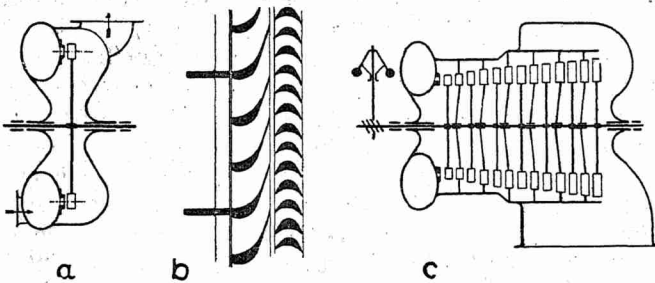
Zmíněná účinnost  $\eta_t$  skládá se z řady různých faktorů. Jimi vyjádřeny jsou všechny ztráty, jako vnitřní tření páry, tření v ložiskách, spotřeba energie pro pohon olejové pumpý nutné pro mazání ložisek a jiné. Pokud jedná se o ztráty tepelné, jeví se v diagramu tak, že do konečného stavu nedospějeme po svislé čáre, nýbrž po jakési šikmé, takže v konečném stavu bude entropie větší než ve stavu počátečním. Z celkového spádu využije se pak jen  $\eta_t \cdot H$ . Z této uvolněné energie kryjí se ztráty mechanické, takže k pohonu generátoru zbývá opět zmenšený výkon, čili musí se přiváděti více páry. Následkem nedokonalosti generátoru musí se pak i toto dále zvětšiti, jak jsme uvedli v rovnici (8''). Účinnost  $\eta_t$ , v níž tedy jsou zahrnutы všechny ztráty turbiny, nazývá se thermodynamickou. Řídí se typem turbiny, konstrukcí, je výsledkem zkušeností a tajemství továren. Pro turbiny malých výkonů je malá. Tak pro pomocné malé turbinky až jen 20%. Zhruba lze ji odhadnouti pro turbiny asi 700 kW na 65%, pro velké asi 30.000 kW na 85% až 86%. V reklamních prospektech udává se i 87%. Rovněž

účinnost generátoru závisí na výkonu a je asi 90 až 98%. Obě účinnosti  $\eta_t$ ,  $\eta_{el}$  vztahují se na výkony, pro něž jsou stroje dimensovány. V provozu však mohou být stroje méně zatíženy nebo přetíženy. V obou případech klesá  $\eta_t$ , kdežto  $\eta_{el}$  při částečném zatížení klesá, při přetížení zcela nepatrně stoupá.

Je-li výkon generátoru měřený na svorkách  $N$  kW, je spotřeba páry za hodinu

$$G = C_{el} \cdot N \text{ kg/h.} \quad (9)$$

**Schema parní turbiny.** Vytéká-li pára z prostoru, v němž je tlak  $p_1$ , do jiného prostoru, kde je tlak  $p_2$ , dosáhne se rychlosti dané vzorcem (6). Jde o to využití kinetickou energii parního



Obr. 2.

paprsku. Základní konstruktivní myšlenka je tato: Do prostoru, jenž má tvar prstenu, přivádí se pára od kotlů (obr. 2a). Na boční stěně jsou buď dokola nebo jen po části obvodu vhodně konstruované otvory, zvané rozváděcí kanály. Jimi protéká pára do prostoru, kde je tlak  $p_2$ . V něm je kotouč nesoucí na svém obvodu lopatky oběžné. Tyto lopatky jsou velmi přesně vyrobeny a jejich profil tak konstruován, aby parní paprsek vystupující z rozváděcích kanálů co nejvýhodněji z původního směru odklonily a tím převzaly energii pohybovou, jež se přenáší pak hřídelem k poháněnému stroji. Po proběhnutí oběžnými lopatkami pára uniká hrdlem do výfukového potrubí. Prostory s tlaky  $p_1$  a  $p_2$  tvoří tak zvanou turbinovou skříň. Hřídel je opatřena ucpávkami, jež brání unikání páry, a je nesena ložisky vydatně mazanými olejem. V jedné ose s hřídelí turbinovou je hřídel generátoru. Obě spojeny jsou důmyslně konstruovanou spojkou. Toť základní schema jednodupňové parní turbiny.

Středy délek oběžných lopatek leží na t. zv. roztečné kružnici. Mysláme-li si uspořádání rozváděcích kanálů a oběžných lopatek proříznuto roztečným válcem, tento válec pak rozvinut do nákresny, dostaneme schema b v obr. 2.

Podle právě popsaného schématu staví se však jen zcela speciální turbiny. Rychlosť  $c_0$  je totiž velmi značná a není možno ji v jednom kole ekonomicky využít. (Na př. při  $h = 100$  kal je podle (6)  $c_0 = 915$  m/sec.) Uspořádá se tedy takových tlakových stupňů řada za sebou. V každém, pevně ve skříni zasazeném, rozváděcím kole rozepne se pára na nižší tlak, který je počátečním pro další stupeň. Každé kolo oběžné převeze příslušnou energii. Tak dostáváme mnohostupňovou turbinu akční. (Obr. 2c.) V turbině reakční či předtlakové děje se rozpínání páry i v kole oběžném.

Rozdělení turbin. Z rovnice (8''), vidíme, že specifická spotřeba páry, t. j. spotřeba pro 1 kWh, bude tím menší, čím větší bude  $\eta_t$ ,  $\eta_{el}$  (čím budou stroje dokonalejší). Toho dosáhne se účelnou konstrukcí, vhodnou volbou počtu stupňů atd. Nejvíce však rozhoduje spád  $H$ . Co největšího spádu docílíme takto: Při zvoleném počátečním stavu (tlaku páry vyráběné v kotli) bude  $H$  tím větší, čím menší bude konečný tlak čili protitlak. Nemá-li se páry vycházející z turbiny dále nijak užít (na př. k topení), pak sníží se protitlak až téměř na vakuum. Pod turbinou uspořádá se kondensátor, t. j. válec s mnoha trubkami mosaznými, jimiž prohání pumpa studenou vodu a vývěva dociluje tlaku jen asi 0,07 až 0,03 atm. absolut. Pára přicházející z turbiny se v kondensátoru sráží ve vodu a pumpou vhání se zpět do kotlů. To jsou turbiny s kondensací. Vhodnou volbou kotlů lze ještě zvětšiti spád zvýšením admisního tlaku a teploty. (Na př. až na 125 atm., 450° C.) Příliš vysoké tlaky však vyžadují velkých investic a vyplácí se tudíž jen při velkých výkonech (asoň 22.000 kW). Pro malé turbiny užívá se často 15 atm., 350° C, pro větší 20 atm., 375° C a pro velké 30 atm., 400° C, 60 atm., 425° C, 125 atm., 450° C.

Má-li se páry vystupující z turbiny užít k dalším účelům, na př. k topení, vaření, je tím dán konečný tlak (na př. 3 atm.). K takovým účelům slouží turbiny protitlakové.

Neužije-li se veškeré páry k takovým účelům, staví se turbiny odběrové. V místě turbiny, kde je tlak žádaný pro odběr, uspořádá se odběrové hrdlo a ostatní pára pracuje v dalších stupních až eventuelně do vakua.

Někdy pak kromě čerstvé páry přivádí se na vhodném místě turbiny výfuková pára z jiných strojů (na př. pára od parních kladiv). K tomu slouží turbiny dvoutlakové.

Dimenování turbín je úlohou velmi obšírnou. Týká se jednak správného počtu tlakových stupňů, jednak stanovení všech rozměrů (průřezů průtokových a jednotlivých částí) s ohledem na pevnost.

O počtu stupňů rozhoduje kalorický spád, žádaná hospodárnost stroje a konečně i cena. Továrny mají své turbiny typisovány. K výrobě součástí z litiny nebo z lité ocele je třeba dřevěných

modelů, které jsou velmi drahé. Má tedy každý závod pouze určitý počet takových základních modelů, které jsou odstupňovány hlavně podle výkonů turbin. Dá se dokázati, že turbina o více stupních, ale za to s menšími průměry kol, má menší spotřebu páry než turbina s málo stupni o větších průměrech. Proto je třeba k dosáhlí vysoké ekonomie tolika stupňů, že z konstruktivních důvodů není možno užiti jediné skříně. Docházíme tak k ekonomickým turbinám dvou a třítliesenovým.

Východiskem pro dimensování je počet obrátek. Ten do jisté míry je dán hnaným strojem. Uvažujme pouze o turbinách pro pohon generátorů. S ohledem na užívaný proud o 50 periodách a na počet magnetických polí generátoru užívá se pro výkony asi do 700 kW 1500 obrátek, asi do 1200 kW 1000 obrátek, do 60.000 kW 3000 obrátek a pro větší pak 1500 obrátek. Turbiny pro malé výkony jsou ekonomičtější při 4500 až 6000 (i více) obrátkách. Aby se oběma stranám vyhovělo, užívá se ozubeného převodu mezi turbinou a generátorem. Nejčastěji však setkáváme se s agregáty, kde oba stroje mají 3000 obrátek.

Obrátkami omezena je proveditelnost kol. Odstředivé síly, jež namáhají materiál kol, jsou velmi značné, jak patrné z příkladu uvedeného v odstavci o technických jednotkách (rovnice (3)). Největší kolo při zvolených obrátkách bývá namáháno až i  $2000 \text{ kg/cm}^2$ .

Konečně je volba obrátek omezena typem, který továrna má v zásobě.

Všimněme si nyní blíže průtoku páry rozváděcími a oběžnými lopatkami. Vyšetřování toto zjednoduší se tím, že se vyšetřuje pouze pohyb jakéhosi středního vlákna v roztečném válci. Mimoto nahrazuje se rotační pohyb rovnoramenným přímočarým pohybem s rychlostí rovnou obvodové  $u$ . Tato zjednodušení jsou přípustná s ohledem na poměrně malé rozměry kanálů proti průměru kol. Střední vlákno vystupuje pod úhlem  $\alpha_1$  s rychlosí  $c_1$ , která s ohledem na ztráty třením je o něco menší, než dříve uvažovaná rychlosí  $c_0$ . Klade se  $c_1 = \varphi c_0$ , kde  $\varphi \doteq 0,95$ . Poněvadž ve stavu setrvačném ustupují oběžné lopatky s rychlosí  $u$ , dostaneme vektorovým složením  $c_1$  a  $-u$  relativní rychlosí  $w_1$ , s kterou paprsek vstupuje do oběžných lopatek. Směr této rychlosí  $w_1$  musí mít prvý element profilu oběžné lopatky, aby nedocházelo ke ztrátám energie rázy. V oběžném kanálu oběžnou lopatkou odchýlí se paprsek od směru  $w_1$  do směru  $w_2 = \psi w_1$ , kde  $\psi \doteq 0,87$ . Přičteme-li k této rychlosí opět vektorově  $+u$ , dostaneme absolutní rychlosí  $c_2$ , s kterou paprsek opouští oběžné kolo. Rozložme nyní  $c_1$  a  $c_2$  do směru rychlosí  $u$  a do směru kolmého. Je patrné, že kolmé složky nebudou přispívat k pohybu ve směru  $u$ , tedy budou mírou ztráty. Profil lopatky musí být tak konstruován, aby tyto ztráty byly nejmenší.

(Dokončení.)